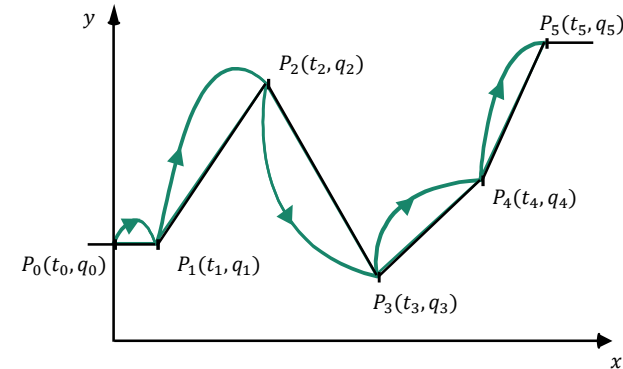
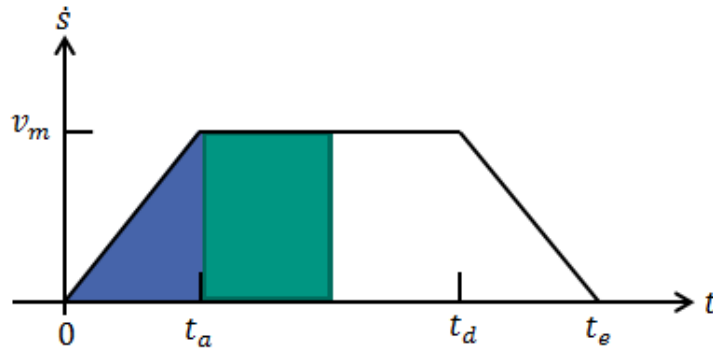


# Robotik I: Einführung in die Robotik

## Kapitel 6 – Bahnsteuerung

Tamim Asfour

<http://www.humanoids.kit.edu>



- **Grundlagen der Bahnsteuerung**
- Programmierung der Schlüsselpunkte
- Interpolationsarten
- Approximierte Bahnsteuerung

# Grundlagen der Bahnsteuerung: Trajektorie

Bewegungen eines Roboters werden aufgefasst als

## ■ Zustandsänderungen

- Über die Zeit
- Relativ zu einem festen Koordinatensystem (Arbeitsraum, Konfigurationsraum)

## ■ mit **Einschränkungen** durch

- Zwangsbedingungen
- Gütekriterien
- Neben- und Randbedingungen

# Grundlagen der Bahnsteuerung: Problem

- Gegeben
  - $S_{start}$ :  
Zustand zum **Startzeitpunkt**
  - $S_{Ziel}$ :  
Zustand zum **Zielzeitpunkt**
- Gesucht
  - $S_i$ :  
**Zwischenzustände** (Stützpunkte),  
damit die Trajektorie stetig wird.



# Bahnsteuerung: Beispiel für ein Gelenk

## ■ Anfangsbedingungen:

$$q(t_0) = 15^\circ$$

$$\dot{q}(t_0) = 0 \frac{\text{sec}}{\text{sec}}$$

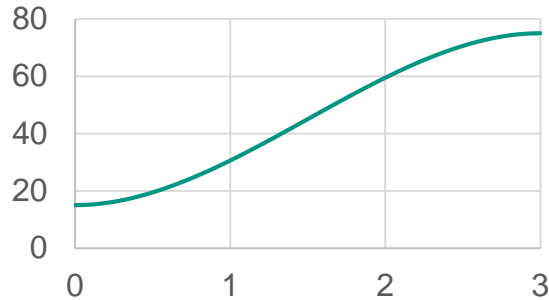
$$\ddot{q}(t_0) = 40 \frac{\text{sec}^2}{\text{sec}^2}$$

## ■ Endbedingungen:

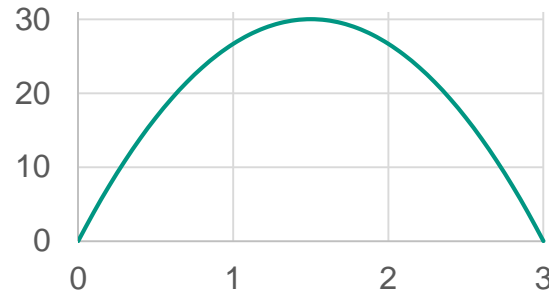
$$q(t_e) = 75^\circ$$

$$\dot{q}(t_e) = 0 \frac{\text{sec}}{\text{sec}}$$

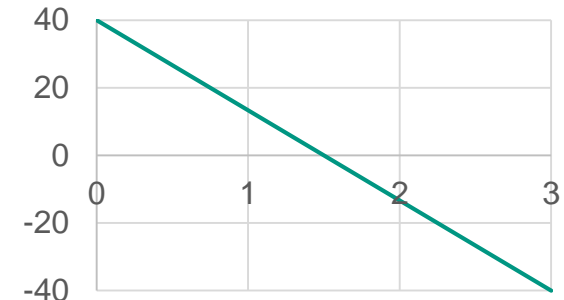
$$\ddot{q}(t_e) = -40 \frac{\text{sec}^2}{\text{sec}^2}$$



Position  $q(t)$



Geschwindigkeit  $\dot{q}(t)$



Beschleunigung  $\ddot{q}(t)$

# Bahnsteuerung: Beispiel für ein Gelenk

## ■ Anfangsbedingungen:

$$q(t_0) = 15^\circ$$

$$\dot{q}(t_0) = 0 \frac{\text{sec}}{\text{sec}}$$

$$\ddot{q}(t_0) = 40 \frac{\text{sec}^2}{\text{sec}^2}$$

## ■ Endbedingungen:

$$q(t_e) = 75^\circ$$

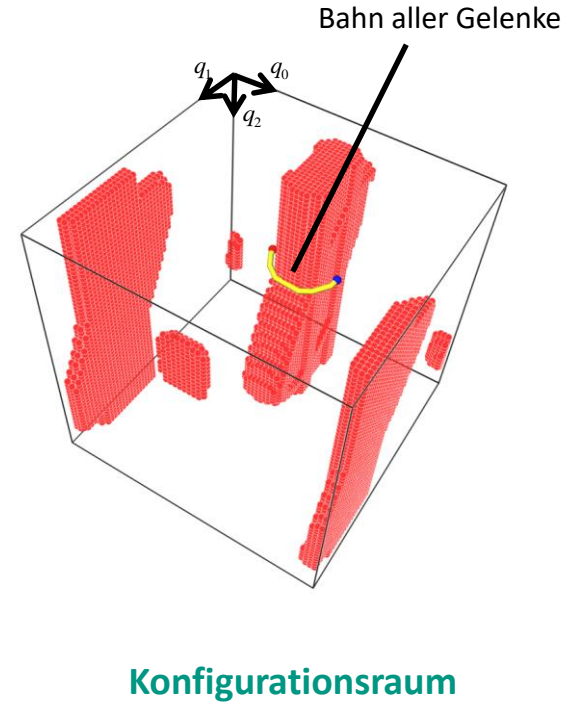
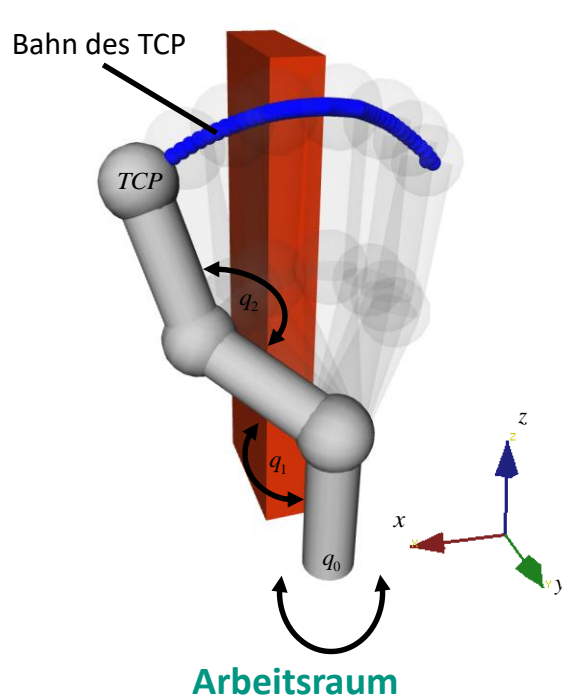
$$\dot{q}(t_e) = 0 \frac{\text{sec}}{\text{sec}}$$

$$\ddot{q}(t_e) = -40 \frac{\text{sec}^2}{\text{sec}^2}$$

Mit den Bedingungen können wir ein Polynom dritten Grades bestimmen, dass die Anforderungen erfüllt

$$q(t) = -\frac{40}{9}t^3 + 20t^2 + 15 \quad \dot{q}(t) = -\frac{40}{3}t^2 + 40t \quad \ddot{q}(t) = -\frac{80}{3}t + 40$$

# Bahnsteuerung: Darstellung der Zustände (1)

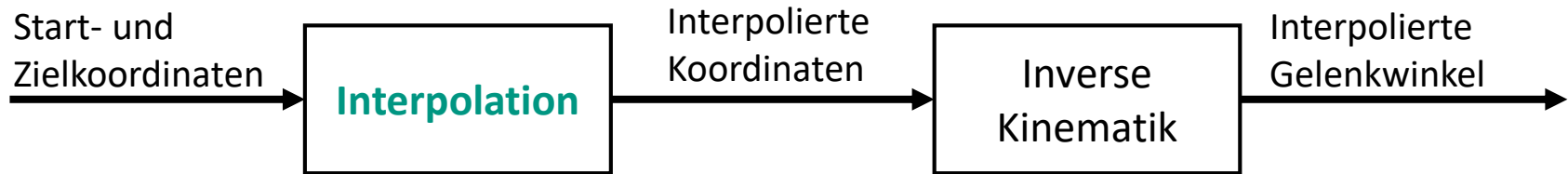


## Bahnsteuerung: Darstellung der Zustände (2)

- **Zustände** können dargestellt werden im
  - Konfigurationsraum:  $\mathbb{R}^n$
  - Arbeitsraum:  $\mathbb{R}^3, SE(3)$
- Bahnsteuerung im **Konfigurationsraum** ist näher an der Ansteuerung der Teilsysteme des Roboters (Gelenke, Sensorik)
- Bahnsteuerung im **Arbeitsraum** ist näher an der zu lösenden Aufgabe
  - Bei Steuerung im Arbeitsraum ist das Lösen der **inversen Kinematik** nötig

# Bahnsteuerung: Interpolation

## ■ Interpolation der **Weltkoordinaten**



## ■ Interpolation der **Gelenkwinkel**



# Bahnsteuerung im Konfigurationsraum

- Bahnsteuerung als **Funktion der Gelenkwinkelzustände**
  - Verlauf der **punktweise** in Gelenkwinkeln spezifizierten Bahn muss im Arbeitsraum nicht definiert sein
- Abfahren dieser punktweise spezifizierten Trajektorien
  - **Asynchron:** Steuerung der Achsen unabhängig voneinander
    - Anwendung: Punktschweißen, Handhabungsaufgaben
  - **Synchron:** achsinterpolierte Steuerung
    - Bewegung aller Achsen beginnt und endet zum gleichen Zeitpunkt
    - Leitachse
    - Anwendung: Bahnschweißen, Lackieren, Montieren

# Bahnsteuerung im Arbeitsraum

- Angabe der Trajektorie erfolgt als Funktion der **Zustände des Roboters**
  - Beispiel: Beschreibungsvektor des Endeffektors
  - Position, Geschwindigkeit, Beschleunigung
- **Continuous Path (CP)**:  
Endeffektor folgt in Position und Orientierung einer **definierten Bahn**
- **Bahntypen**
  - Lineare Bahnen
  - Polynombahnen
  - Splines

# Bahnsteuerung: Vor- und Nachteile der Darstellungen

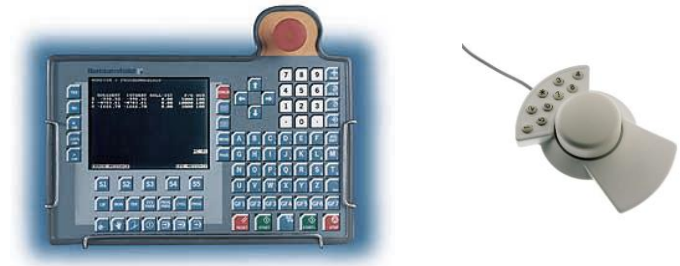
Arbeitsraum	Konfigurationsraum
<ul style="list-style-type: none"><li>+ Bahn einfacher zu formulieren</li><li>+ Interpolation ist einfacher</li></ul>	<ul style="list-style-type: none"><li>+ Ansteuerung der Gelenke ist einfacher</li><li>+ Trajektorie ist eindeutig und berücksichtigt die Gelenkwinkelgrenzen</li></ul>
<ul style="list-style-type: none"><li>– Inverse Kinematik für jeden Punkt der Trajektorie zu lösen</li><li>– Geplante Trajektorie nicht immer ausführbar</li></ul>	<ul style="list-style-type: none"><li>– Interpolation für mehrere Gelenke</li><li>– Formulierung der Trajektorie umständlicher</li></ul>

- Grundlagen der Bahnsteuerung
- **Programmierung der Schlüsselpunkte**
- Interpolationsarten
- Approximierte Bahnsteuerung

# Direkte Programmierung: Teach-In (1)

## ■ Anfahren markanter Punkte der Bahn mit manueller Steuerung

- Teach Box
- Teach Panel
- Spacemouse
- Teach-Kugel



## ■ Funktionalität einer Teach Box:

- Einzelbewegung der Gelenke
- Bewegung des Effektors in 6 Freiheitsgraden
- Speichern / Löschen von Anfahrpunkten
- Eingabe von Geschwindigkeiten
- Eingabe von Befehlen zur Bedienung des Greifers
- Starten / Stoppen ganzer Programme



# Direkte Programmierung: Teach-In (2)

## ■ Vorgehen

- **Anfahren** markanter **Schlüsselpunkte** der Bahn
- **Speichern** der **Gelenkwerte**
- **Ergänzung** der gespeicherten Werte um Parameter wie Geschwindigkeit, Beschleunigung usw.

## ■ Anwendung:

- Fertigungsindustrie
  - Punktschweißen
  - Nieten
- Handhabungsaufgaben
  - Pakete vom Fließband nehmen



# Direkte Programmierung: Playback (1)

- Roboter im **Zero-Force-Control** Modus
  - Roboter kann **durch den Bediener bewegt** werden
  - **Abfahren** der gewünschten Bahn
  - **Speichern** der **Gelenkwerte** (2 Möglichkeiten):
    - Automatisch (definierte Abtastfrequenz)
    - Manuell (durch Tastendruck)
- Anwendung:
  - Mathematisch schwer beschreibbare Bewegungsabläufe
  - Integration der handwerklichen Erfahrung
  - Typische Einsatzbereiche:
    - Lackieren
    - Kleben



# Direkte Programmierung: Playback (2)



# Direkte Programmierung: Playback (4)

## ■ Vorteile

- **Schnell** für komplexe Bahnen
- **Intuitiv**

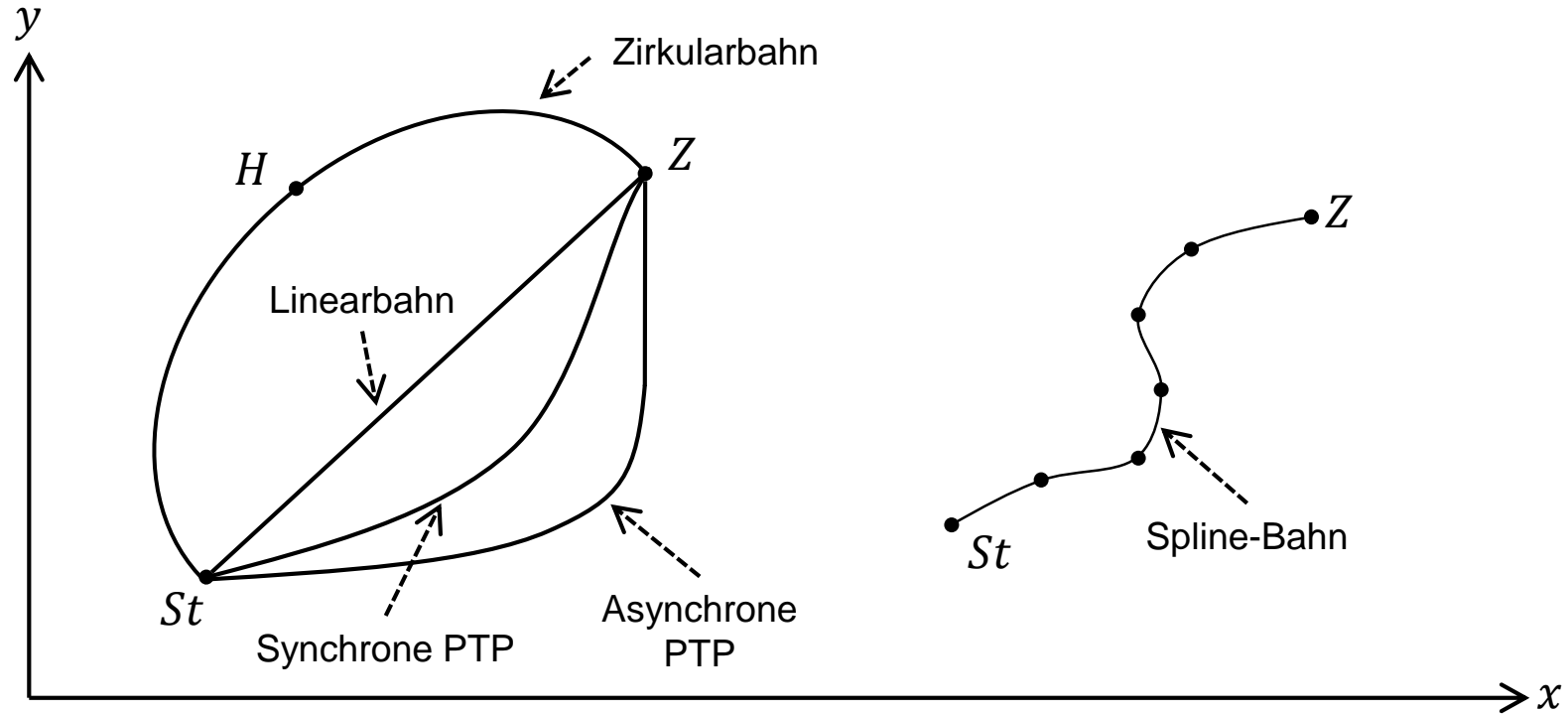
## ■ Nachteile

- **Schwere Roboter** sind oft auch schwierig zu bewegen
- Wenig **Platz** in engen Fertigungszellen für Bediener (Sicherheitsrisiko)
- **Schlechte Korrekturmöglichkeiten**
- **Optimierung** und Kontrolle durch Interpolationsmethoden **schwierig** (Suboptimale Bahnen)

# Inhalt

- Grundlagen der Bahnsteuerung
- Programmierung der Schlüsselpunkte
- **Interpolationsarten**
  - **Punkt-zu-Punkt (PTP)**
  - **Linear- und Zirkularinterpolation**
  - **Spline-Interpolation**
- Approximierte Bahnsteuerung

# Interpolationsarten: Überblick



# Punkt-zu-Punkt-Steuerung (PTP) (1)

- Roboter führt **Punkt-zu-Punkt-Bewegung** aus
  - PTP: Point-to-Point
- Vorteile:
  - Die Berechnung der Gelenkwinkeltrajektorie ist **einfach**
  - **Keine Probleme** mit **Singularitäten**
- Sequenz von **Gelenkwinkelvektoren**

$$\mathbf{q}(t_j) = \left( q_1(t_j), q_2(t_j), \dots, q_n(t_j) \right)^T$$

mit  $q_i(t_j)$ : Winkel des Gelenks  $i$  zum Zeitpunkt  $t_j$  mit  $j = 0, \dots, k$

## Punkt-zu-Punkt-Steuerung (PTP) (2)

Randbedingungen

- **Start- und Zielzustand** sind bekannt
- Beispiel: Geschwindigkeiten zu Beginn und am Ende sind Null
- Der **Gelenkwinkelbereich** sowie **Geschwindigkeiten** und **Beschleunigungen** sind **begrenzt** (z.B. schnelles Beschleunigen, langsames Abbremsen)

$$\mathbf{q}(t_0) = \mathbf{q}_{Start}$$

$$\mathbf{q}(t_e) = \mathbf{q}_{Ziel}$$

$$\dot{\mathbf{q}}(t_0) = 0$$

$$\dot{\mathbf{q}}(t_e) = 0$$

$$\mathbf{q}_{min} < \mathbf{q}(t_j) < \mathbf{q}_{max}$$

$$|\dot{\mathbf{q}}(t_j)| < \dot{\mathbf{q}}_{max}$$

$$|\ddot{\mathbf{q}}(t_j)| < \ddot{\mathbf{q}}_{max}$$

# Punkt-zu-Punkt-Steuerung (PTP) (3)

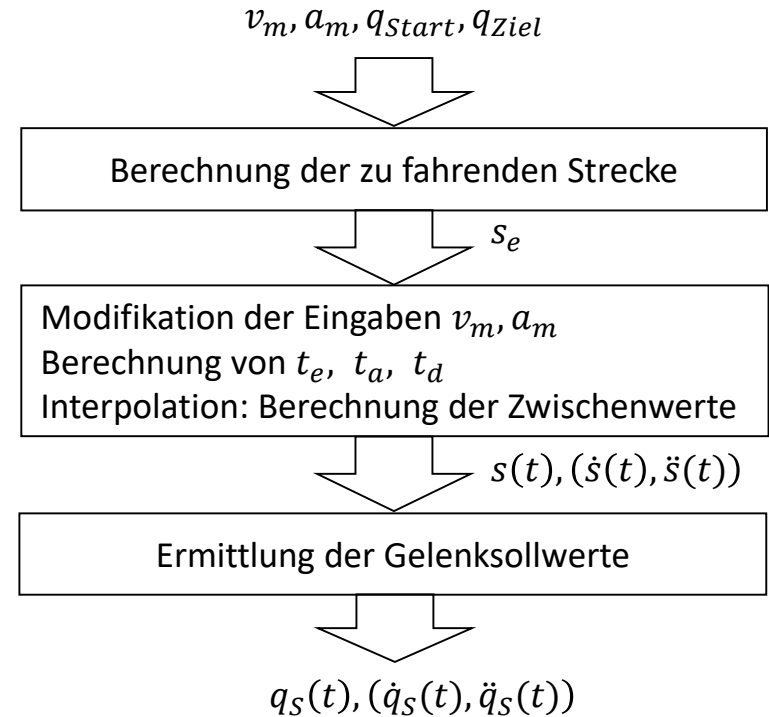
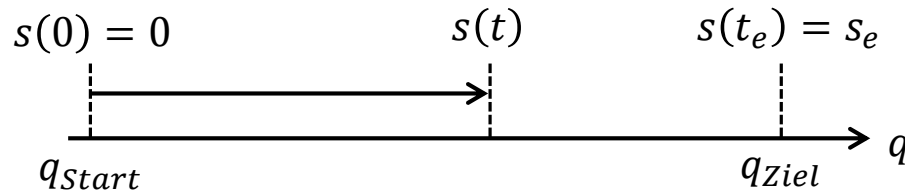
## Ablauf der Steuerung

- Fahrzeit  $t_e$
- Beschleunigungszeit  $t_a$
- Beginn der Bremszeit  $t_d$
- Maximale Geschwindigkeit  $v_m$
- Maximale Beschleunigung  $a_m$

$$s(0) = \dot{s}(0) = v(0) = 0$$

$$s(t_e) = s_e = |q_{Ziel} - q_{Start}|$$

$$\dot{s}(t_e) = v(t_e) = 0$$



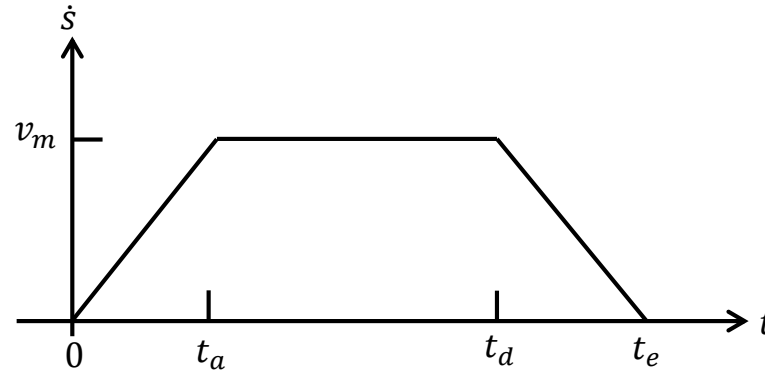
# Interpolation für PTP mit Rampenprofil (1)

## ■ Vorteil:

**Einfache** Art zur **Berechnung** der Bahnparameter  $s(t)$

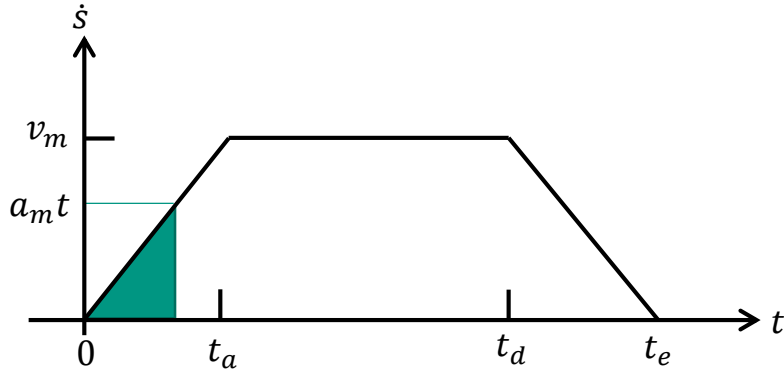
## ■ Nachteil:

**Sprungförmige** Aufschaltung der **Beschleunigung** (ruckartig) kann zu Eigenschwingungen von mechanischen Teilen führen



# Interpolation für PTP mit Rampenprofil (2)

## Phase I: Beschleunigung



$$0 \leq t \leq t_a$$

$$\ddot{s}(t) = a_m$$

$$\dot{s}(t) = a_m t + \dot{s}(0) \quad \text{mit } \dot{s}(0) = 0$$

$$= a_m t$$

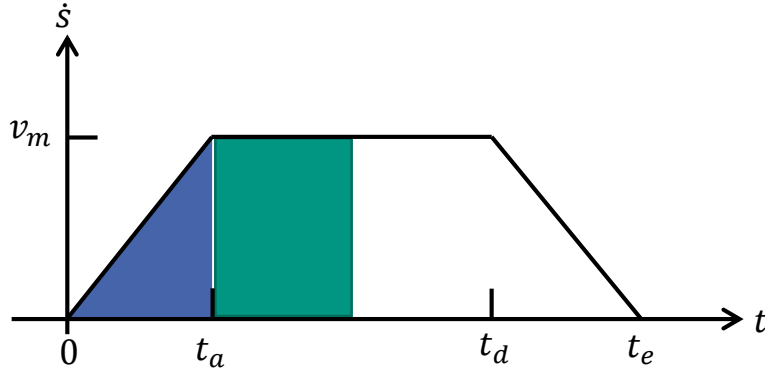
$$s(t) = \frac{1}{2} a_m t^2 + s(0) \quad \text{mit } s(0) = 0$$

$$= \frac{1}{2} a_m t^2$$

# Interpolation für PTP mit Rampenprofil (3)

## Phase II: Gleichmäßigen Fahrt

$$t_a \leq t \leq t_d$$



Aus Phase I wissen wir:

$$\dot{s}(t_a) = a_m t_a = v_m \rightarrow t_a = \frac{v_m}{a_m}$$

$$s(t_a) = \frac{1}{2} a_m t_a^2$$

$$\ddot{s}(t) = 0$$

$$\dot{s}(t) = \dot{s}(t_a) = v_m$$

$$s(t) = v_m(t - t_a) + s(t_a)$$

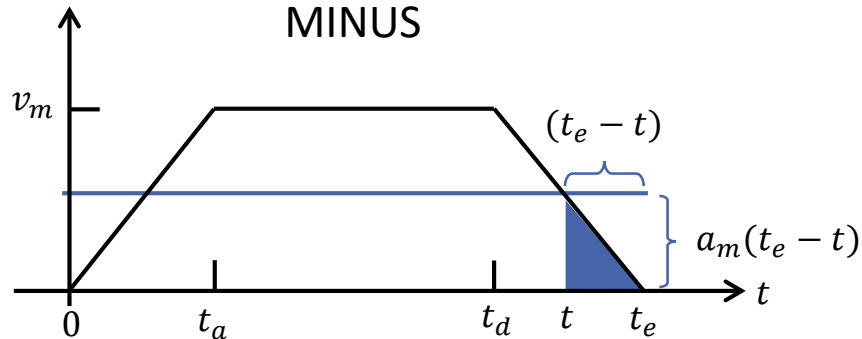
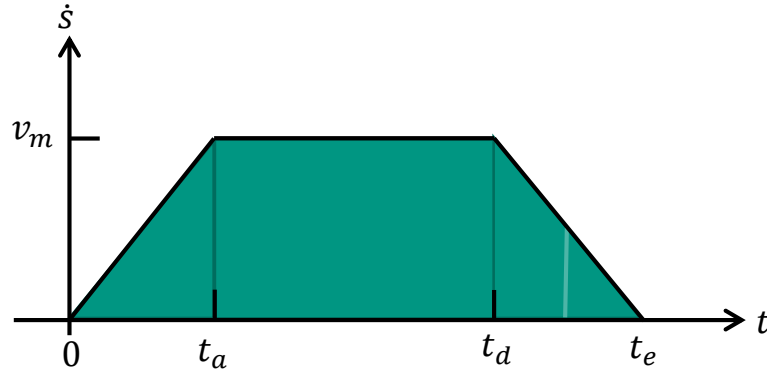
$$= v_m \left( t - \frac{v_m}{a_m} \right) + \frac{1}{2} a_m t_a^2$$

$$= v_m t - \frac{1}{2} \frac{v_m^2}{a_m}$$

# Interpolation für PTP mit Rampenprofil (4)

Phase III: **Bremsvorgang**

$$t_d \leq t \leq t_e \quad \text{mit} \quad t_d = t_e - t_a$$



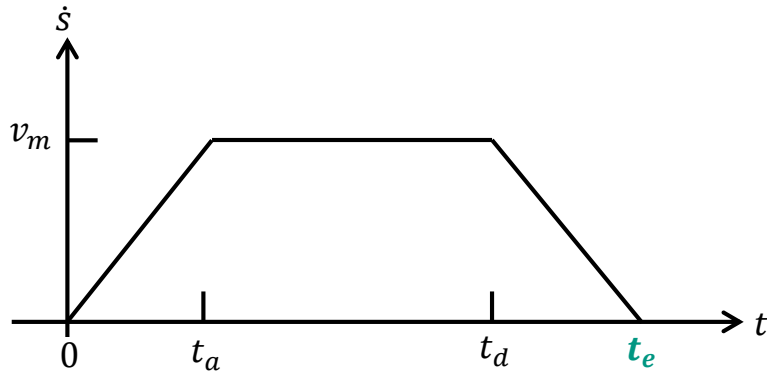
$$\ddot{s}(t) = -a_m$$

$$\begin{aligned} \dot{s}(t) &= -a_m(t - t_d) + \dot{s}(t_d) \\ &= -a_m(t - t_d) + v_m \end{aligned}$$

$$s(t) = v_m(t_e - t_a) - \frac{a_m}{2}(t_e - t)^2$$

# Interpolation für PTP mit Rampenprofil (5)

## Berechnung der **Fahrtzeit**



Aus Phase III wissen wir:

$$s(t_e) = s_e = v_m(t_e - t_a)$$

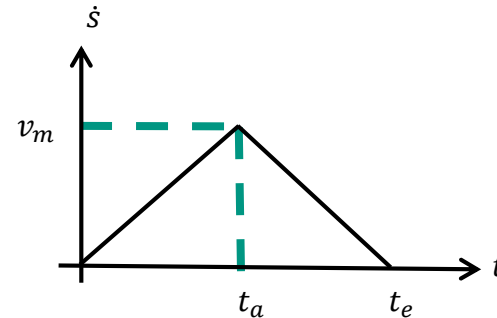
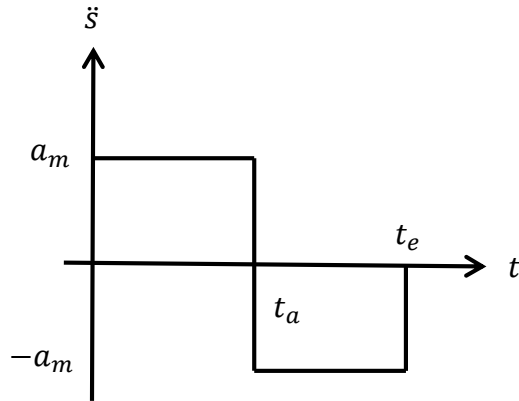
Nach  $t_e$  auflösen,  $t_a = \frac{v_m}{a_m}$

$$t_e = \frac{s_e}{v_m} + t_a = \frac{s_e}{v_m} + \frac{v_m}{a_m}$$

# Zeitoptimale Bahn

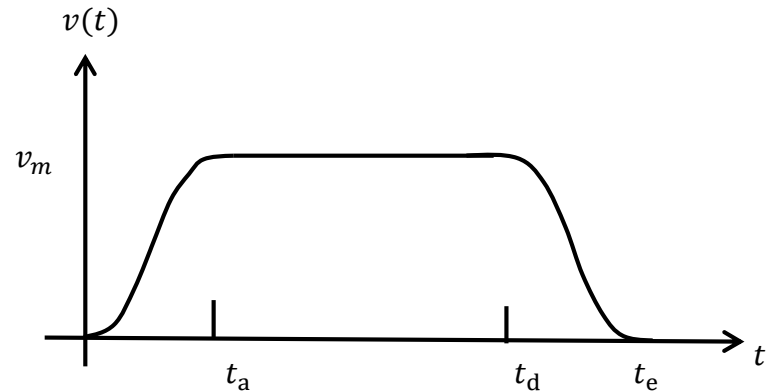
Falls  $v_m$  zu groß in Bezug auf Beschleunigung und Bahnlänge:  
Bestimmung einer zeitoptimalen Bahn nach

$$s_e = t_a \cdot v_m = \frac{v_m^2}{a_m} \rightarrow v_m = \sqrt{a_m s_e}$$



# Interpolation für PTP mit Sinoidenprofil (1)

- **Weichere Bewegung** durch Verwendung einer sinusförmigen Zeitfunktion
- Vorteil:
  - Roboter wird weniger beansprucht
- Nachteil:
  - Längere Beschleunigungs- und Bremsphase als beim Rampenprofil
- Bestimmung der Kurvenparameter für die drei Phasen:
  - Beschleunigung
  - Gleichförmige Bewegung
  - Bremsvorgang



# Interpolation für PTP mit Sinoidenprofil (2)

## ■ Phase der **Beschleunigung**

$$\ddot{s}(t) = a_m \sin^2\left(\frac{\pi}{t_a} t\right) \quad 0 \leq t \leq t_a$$

$$\dot{s}(t) = a_m \left( \frac{1}{2} t - \frac{t_a}{4\pi} \sin\left(\frac{2\pi}{t_a} t\right) \right)$$

$$s(t) = a_m \left( \frac{1}{4} t^2 + \frac{t_a^2}{8\pi^2} \left( \cos\left(\frac{2\pi}{t_a} t\right) - 1 \right) \right)$$

■ Aus  $\dot{s}(t_a) = a_m \frac{1}{2} t_a = v_m$  folgt  $t_a = \frac{2v_m}{a_m}$

## ■ Phase der **gleichmäßigen Fahrt**

$$\ddot{s}(t) = 0 \quad t_a \leq t \leq t_d$$

$$\dot{s}(t) = v_m$$

$$s(t) = v_m \left( t - \frac{1}{2} t_a \right)$$

# Interpolation für PTP mit Sinoidenprofil (3)

## ■ Phase des Bremsvorganges

$$\dot{s}(t) = v_m - \int_{t-t_d}^t a(\tau - t_d) d\tau = v_m - a_m \left( \frac{1}{2} (t - t_d) - \frac{t_a}{4\pi} \sin \left( \frac{2\pi}{t_a} (t - t_d) \right) \right) \quad t_d \leq t \leq t_e$$

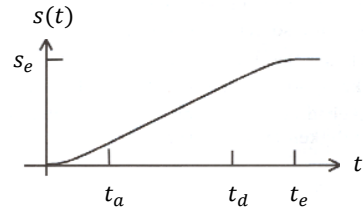
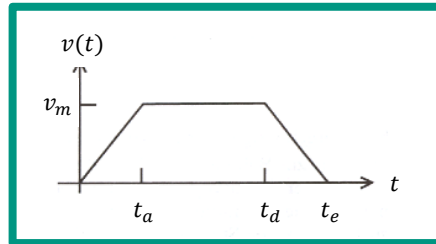
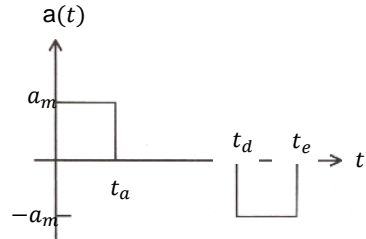
$$s(t) = s(t_d) + \int_{t-t_d}^t \dot{s}(\tau - t_d) d\tau = \frac{a_m}{2} \left( t_e(t + t_a) - \frac{t^2 + t_e^2 + 2t_a^2}{2} + \frac{t_a^2}{4\pi} \left( 1 - \cos \left( \frac{2\pi}{t_a} (t - t_d) \right) \right) \right)$$

## ■ Berechnung der Fahrtzeit

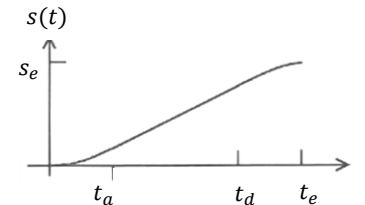
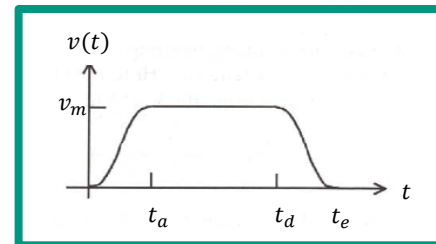
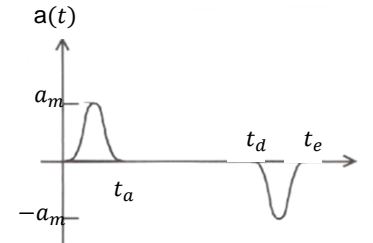
$$t_e = \frac{s_e}{v_m} + t_a = \frac{s_e}{v_m} + \frac{2v_m}{a_m}$$

# Interpolationsarten: Rampen- vs. Sinoidenprofil

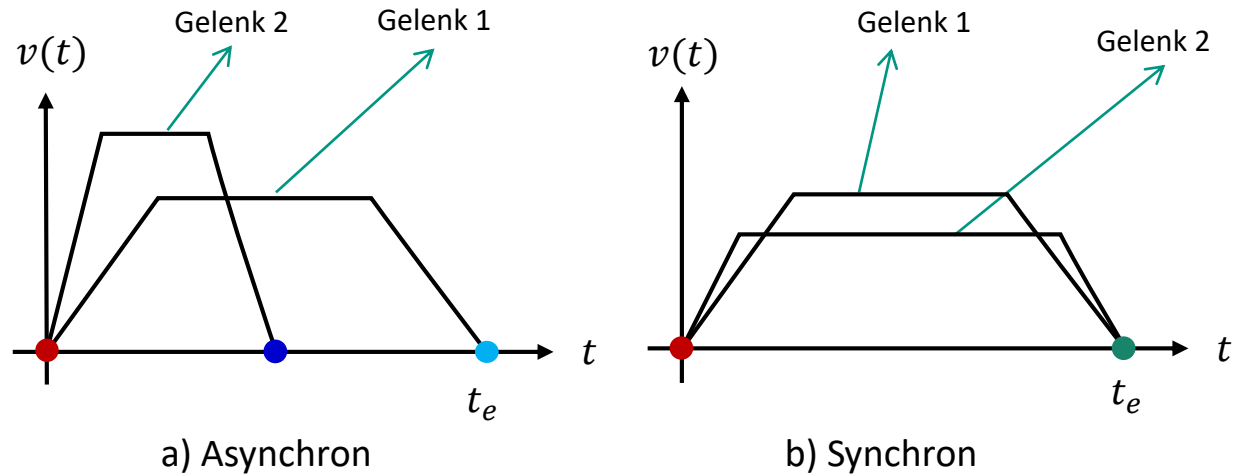
## Rampenprofil



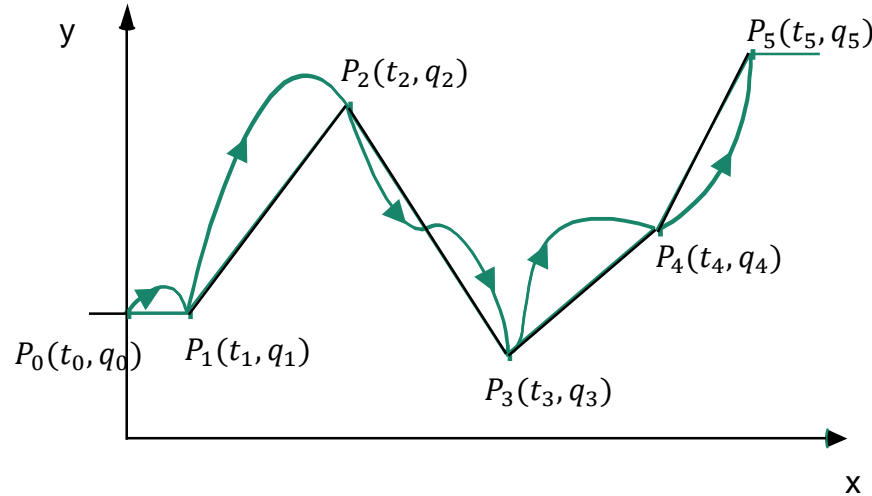
## Sinoidenprofil



# Asynchrone und synchrone PTP-Bahnen

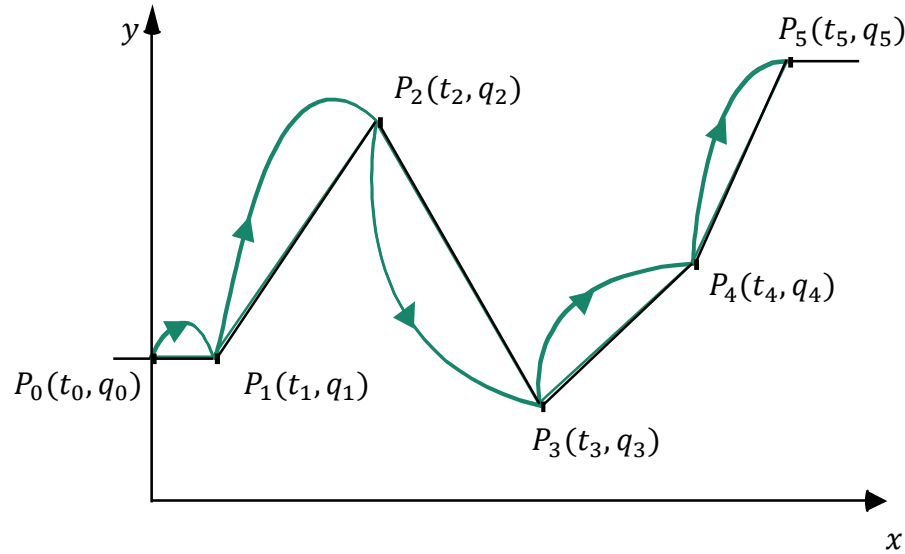


# Asynchrone PTP-Bahnen



- Jedes Gelenk wird **sofort** mit der **maximalen Beschleunigung** angesteuert.
- Jede Gelenkbewegung **endet unabhängig** von den anderen.

# Synchrone PTP-Bahnen



- Alle Gelenke **beginnen und beenden** ihre **Bewegungen zum gleichen Zeitpunkt** (synchron).

# Synchrone PTP-Bahnen: Vorgehen (1)

- Bestimme für **jedes Gelenk  $i$**  die **PTP-Parameter** (analog zur asynchronen PTP)
  - $s_{e,i}$
  - $v_{m,i}$
  - $a_{m,i}$
  - $t_{e,i}$  (Fahrzeit)
- Bestimme die **maximale Fahrzeit**
  - $t_e = t_{e,max} = \max(t_{e,i})$
  - Achse mit max. Fahrzeit ist Leitachse
- Setze die **maximale Fahrzeit** als **Fahrzeit für alle Gelenke**
  - $t_{e,i} = t_e$

# Synchrone PTP-Bahnen: Vorgehen (2)

- Bestimme die **neuen maximalen Geschwindigkeiten** für **alle Gelenke**
  - **Umformung Fahrzeit** und Berechnung der **neuen Geschwindigkeiten**

- **Rampenprofil:**

$$t_e = \frac{s_{e,i}}{v_{m,i}} + \frac{v_{m,i}}{a_{m,i}} \rightarrow v_{m,i}^2 = v_{m,i} a_{m,i} t_e - s_{e,i} a_{m,i}$$

$$v_{m,i} = \frac{a_{m,i} t_e}{2} - \sqrt{\frac{a_{m,i}^2 t_e^2}{4} - s_{e,i} a_{m,i}}$$

- Analoge Berechnung für **Sinoidenbahn:**

$$v_{m,i} = \frac{a_{m,i} t_e}{4} - \sqrt{\frac{a_{m,i}^2 t_e^2 - 8 s_{e,i} a_{m,i}}{16}}$$

# Vollsynchrone PTP-Bahnen

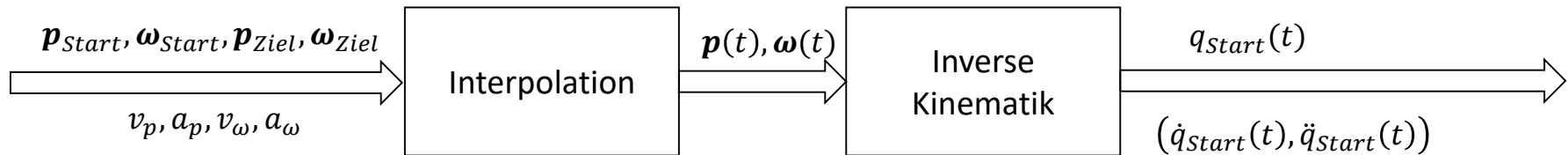
- Zusätzliche Berücksichtigung der **Beschleunigungs- und Bremszeit**
- **Bessere Annäherung** der Start- und Zielpunkte im Arbeitsraum
- Bestimmung der Leitachse mit  $t_e$  und  $t_a \rightarrow t_d = t_e - t_a$
- Bestimmung der maximalen Geschwindigkeit und Beschleunigung der anderen Achsen mit

$$v_{m,i} = \frac{s_{e,i}}{t_d} \qquad a_{m,i} = \frac{v_{m,i}}{t_a}$$

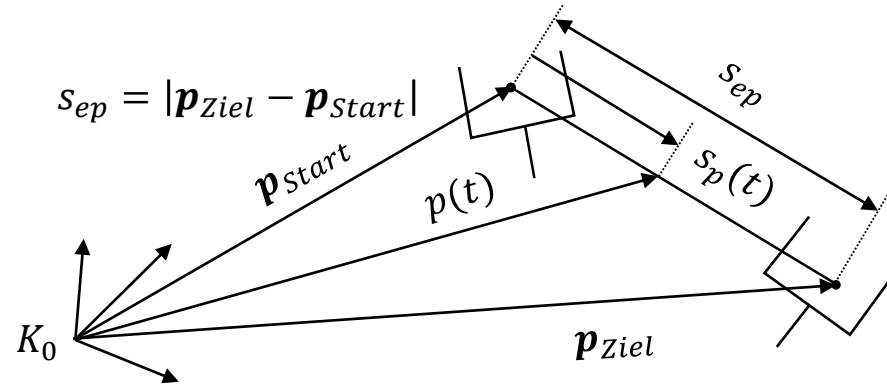
- **Nachteil:** Beschleunigung jeder Achse wird vorgegeben

# Steuerung im Arbeitsraum

- Continuous Path (CP)
  - Endeffektor folgt in Position und Orientierung einer **definierten** Bahn
- **Pose** des Endeffektors im **Arbeitsraum**
  - $\mathbf{p} = (x, y, z)^T \in \mathbb{R}^3$ : **Position**
  - $\boldsymbol{\omega} = (\alpha, \beta, \gamma)^T \in \mathbb{R}^3$ : **Orientierung** (z. B. als Eulerwinkel)
- Maximale Geschwindigkeiten und Beschleunigungen im Arbeitsraum
  - $v_p \in \mathbb{R}$ : Lineare Geschwindigkeit
  - $a_p \in \mathbb{R}$ : Lineare Beschleunigung
  - $v_\omega \in \mathbb{R}$ : Winkelgeschwindigkeit
  - $a_\omega \in \mathbb{R}$ : Winkelbeschleunigung



# Linearinterpolation (1)



$$p(t) = p_{\text{Start}} + \frac{s_p(t)}{s_{ep}} \cdot (p_{\text{Ziel}} - p_{\text{Start}})$$

Berechnung von  $s_p(t)$  mit Rampen- oder Sinoidenprofil

$$s_p(0) = \dot{s}_p(0) = v_p(0) = 0, \quad \dot{s}_p(t_e) = v_p(t_e) = 0$$

$$v_m = v_p, a_m = a_p, t_e = t_{ep}, t_a = t_{ap}, t_d = t_{dp}, s_e = s_{ep}, s = s_p$$

# Linearinterpolation (2)

- Orientierung in Eulerwinkel:  $\boldsymbol{\omega} = (\alpha, \beta, \gamma)^T$

$$s_{e\omega} = |\boldsymbol{\omega}_{Ziel} - \boldsymbol{\omega}_{Start}|$$

$$= \sqrt{(\alpha_{Ziel} - \alpha_{Start})^2 + (\beta_{Ziel} - \beta_{Start})^2 + (\gamma_{Ziel} - \gamma_{Start})^2}$$

- Berechnung von  $s_\omega(t)$  mit Rampen- oder Sinoidenprofil:

$$v_m = v_\omega, \quad a_m = a_\omega, \quad t_e = t_{e\omega}, \quad t_a = t_{a\omega}, \quad t_d = t_{d\omega},$$

$$s_e = s_{e\omega}, \quad S = S_\omega$$

- Angleichen der Fahrzeiten  $t_{ep}$  (Position) und  $t_{e\omega}$  (Orientierung)

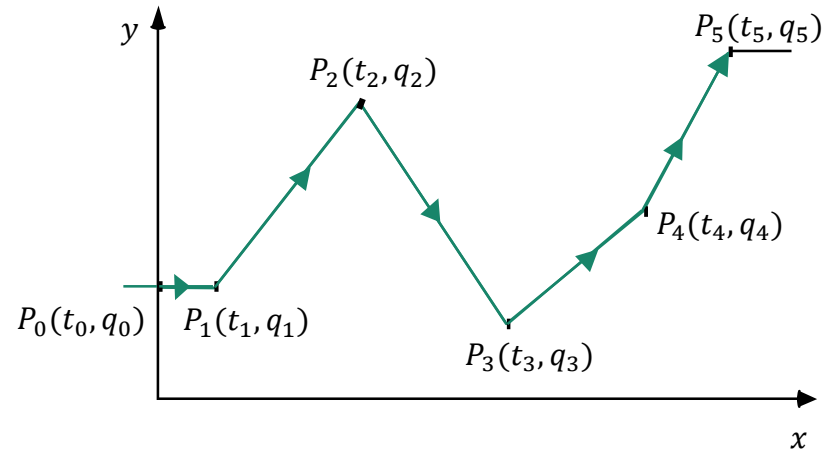
$$t_e = \max(t_{ep}, t_{e\omega})$$

- Analog zur Anpassung der Geschwindigkeiten bei synchronen PTP

- Falls  $t_e = t_{ep}$ :  $v_\omega = \frac{a_\omega t_e}{2} - \sqrt{\frac{a_\omega^2 t_e^2}{4} - s_{e\omega} a_\omega}$

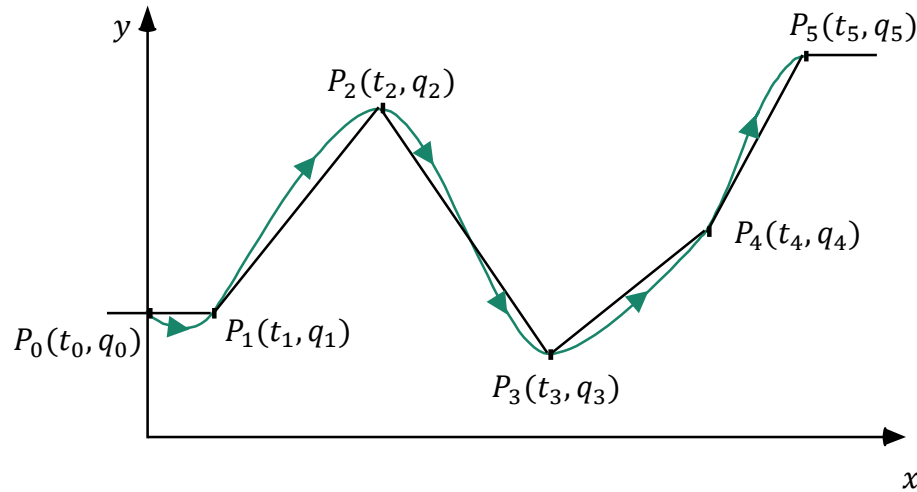
- Falls  $t_e = t_{e\omega}$ :  $v_p = \frac{a_p t_e}{2} - \sqrt{\frac{a_p^2 t_e^2}{4} - s_{ep} a_p}$

# Linearinterpolation: Beispiel



- Die Robotersteuerung interpoliert die Bahn zwischen je 2 Teiltrajektorien.

# Segmentweise Bahninterpolation



- Die Endbedingungen der Teiltrajektorie  $j - 1$  (Richtung, Geschwindigkeit, Beschleunigung) und die Anfangsbedingungen der Teiltrajektorie  $j$  werden aneinander angeglichen
- Teiltrajektorien werden separat beschrieben (Beispiel: Splines)

# Interpolation mit Kubischen Splines (1)

## ■ Polynom

$$f(t) = a_0 + a_1t + a_2t^2 + a_3t^3 \quad (a_0, a_1, a_2, a_3 \in \mathbb{R})$$

## ■ Gegeben

- Anfangspunkt  $f(0) = s_a$
- Endpunkt  $f(t_e) = s_e$
- Anfangsgeschwindigkeit  $\dot{f}(0) = v_a$
- Endgeschwindigkeit  $\dot{f}(t_e) = v_e$

## ■ Gesucht: $a_0, a_1, a_2, a_3 \in \mathbb{R}$

## ■ Ziel: Bestimmen der Parameter für das Polynom

# Kubische Splines: Bestimmung der Parameter (1)

- $f(0) = s_a$

- $\dot{f}(0) = v_a$

- $\dot{f}(t_e) = v_e$

# Kubische Splines: Bestimmung der Parameter (1)

■  $f(0) = s_a$

$$f(t=0) = a_0 + a_1t + a_2t^2 + a_3t^3 = a_0 \\ \Rightarrow a_0 = s_a$$

■  $\dot{f}(0) = v_a$

$$\dot{f}(t=0) = a_1 + 2a_2t + 3a_3t^2 = a_1 \\ \Rightarrow a_1 = v_a$$

■  $\dot{f}(t_e) = v_e$

$$a_1 + 2a_2t_e + 3a_3t_e^2 = v_e \\ v_a + 2a_2t_e + 3a_3t_e^2 = v_e \\ 2a_2t_e = v_e - v_a - 3a_3t_e^2 \\ a_2 = \frac{v_e - v_a}{2t_e} - \frac{3}{2}a_3t_e$$

# Kubische Splines: Bestimmung der Parameter (2)

- $a_0 = s_a$
- $a_1 = v_a$
- $a_2 = \frac{v_e - v_a}{2t_e} - \frac{3}{2}a_3t_e$
- $f(t_e) = s_e$

$$a_0 + a_1t_e + a_2t_e^2 + a_3t_e^3 = s_e$$

$$s_a + v_at_e + \left( \frac{v_e - v_a}{2t_e} - \frac{3}{2}a_3t_e \right) t_e^2 + a_3t_e^3 = s_e$$

$$2v_at_e + (v_e - v_a)t_e - 3a_3t_e^3 + 2a_3t_e^3 = 2(s_e - s_a)$$

$$(v_e + v_a)t_e - a_3t_e^3 = 2(s_e - s_a)$$

$$-a_3t_e^3 = -(v_e + v_a)t_e$$

$$\Rightarrow a_3 = \frac{(v_e + v_a)}{t_e^2} - \frac{2(s_e - s_a)}{t_e^3}$$

# Kubische Splines: Bestimmung der Parameter (3)

- $a_0 = s_a$
- $a_1 = v_a$
- $a_2 = \frac{v_e - v_a}{2t_e} - \frac{3}{2}a_3t_e$
- $a_3 = \frac{(v_e + v_a)}{t_e^2} - \frac{2(s_e - s_a)}{t_e^3}$

$$a_2 = \frac{v_e - v_a}{2t_e} - \frac{3}{2}a_3t_e$$

$$a_2 = \frac{v_e - v_a}{2t_e} - \frac{3}{2} \left( \frac{(v_e + v_a)}{t_e^2} - \frac{2(s_e - s_a)}{t_e^3} \right) t_e$$

$$a_2 = \frac{1}{2t_e} (v_e - v_a - 3v_e - 3v_a) + \frac{3(s_e - s_a)}{t_e^2}$$

$$\Rightarrow a_2 = \frac{3(s_e - s_a)}{t_e^2} - \frac{v_e + 2v_a}{t_e}$$

# Kubische Splines: Bestimmung der Parameter (4)

## ■ Kubisches Polynom

$$f(t) = a_0 + a_1t + a_2t^2 + a_3t^3$$

## ■ Gewünschte Eigenschaften:

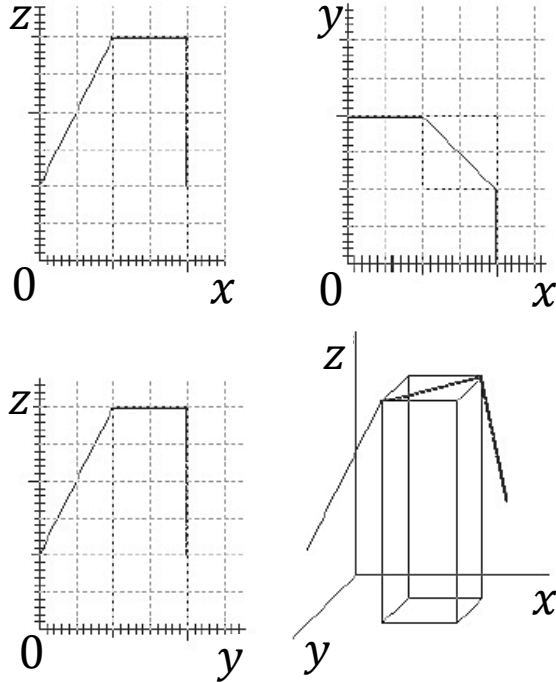
- Anfangspunkt  $f(0) = s_a$
- Endpunkt  $f(t_e) = s_e$
- Anfangsgeschwindigkeit  $\dot{f}(0) = v_a$
- Endgeschwindigkeit  $\dot{f}(t_e) = v_e$

## ■ Lösung:

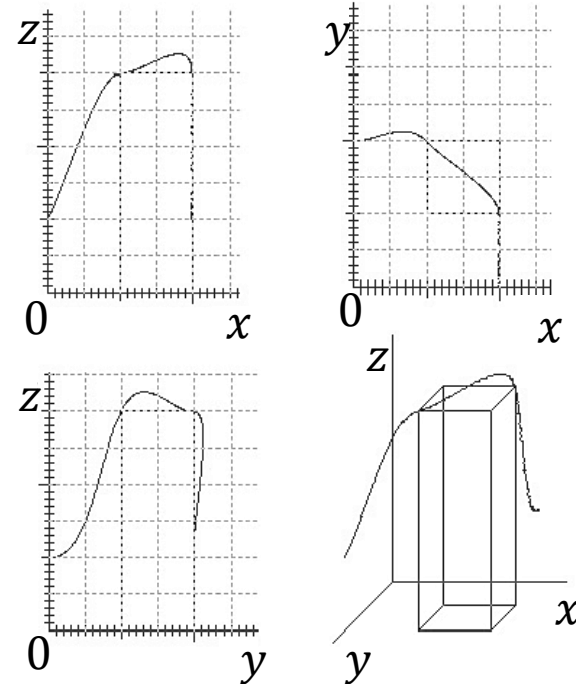
$$f(t) = s_a + v_a t + \left( \frac{3(s_e - s_a)}{t_e^2} - \frac{v_e + 2v_a}{t_e} \right) t^2 + \left( \frac{(v_e + v_a)}{t_e^2} - \frac{2(s_e - s_a)}{t_e^3} \right) t^3$$

# Beispiele für Spline-Interpolation

## ■ Bahn (4 Stützpunkte)



## ■ Spline-Interpolation



# Inhalt

- Grundlagen der Bahnsteuerung
- Programmierung der Schlüsselpunkte
- Interpolationsarten
- **Approximierte Bahnsteuerung**
  - **Bernsteinpolynome**

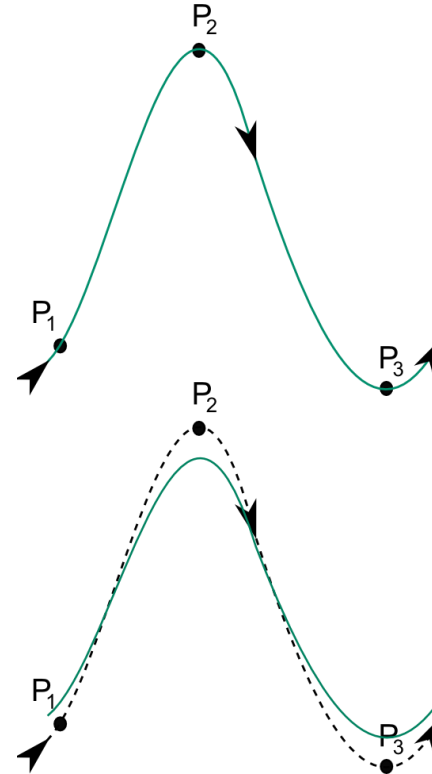
# Approximierte Bahnsteuerung: Definition

## ■ Bahninterpolation

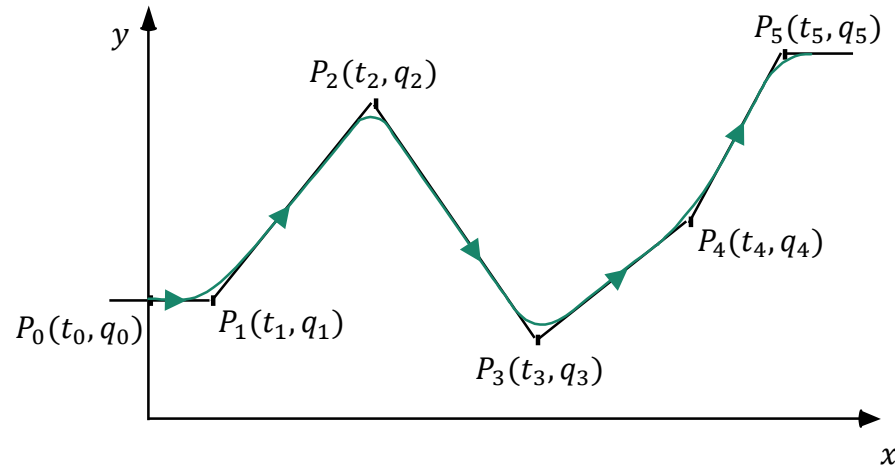
- Die ausgeführte Bahn verläuft **durch alle Stützpunkte** der Trajektorie

## ■ Bahnapproximation

- Die Kontrollpunkte beeinflussen den Bahnverlauf und werden **approximiert**

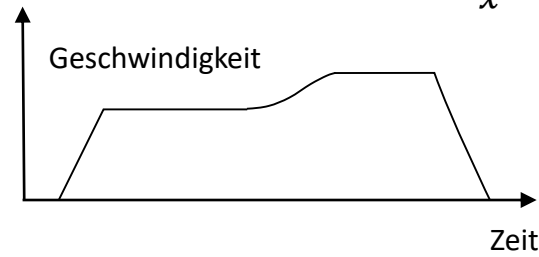
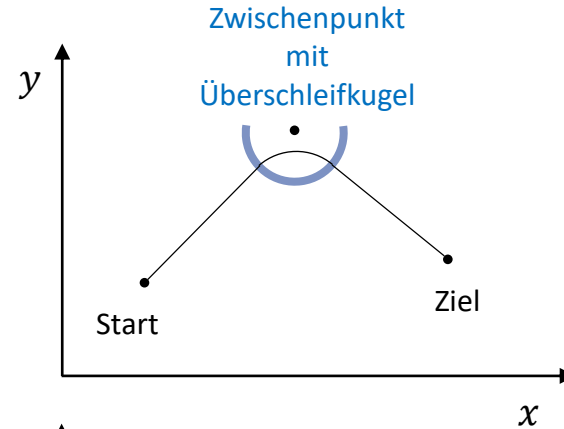
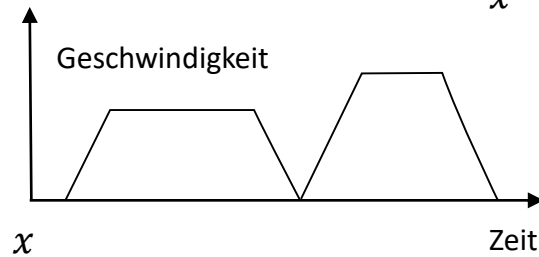
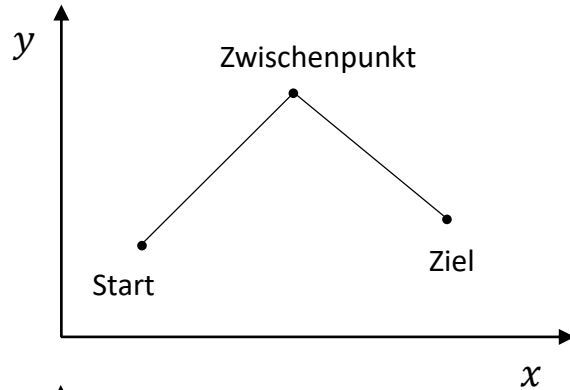


# PTP und CP mit Überschleifen (1)



- Zum Zeitpunkt  $t_j - \varepsilon$  beginnen, die Parameter (Richtung und Geschwindigkeit) der Teiltrajektorie  $j - 1$  auf die Parameter der Teiltrajektorie  $j$  zu überführen.
- In der Regel wird der **Stützpunkt  $i$  nicht erreicht.**

# PTP und CP mit Überschleifen (2)



# PTP und CP mit Überschleifen (3)

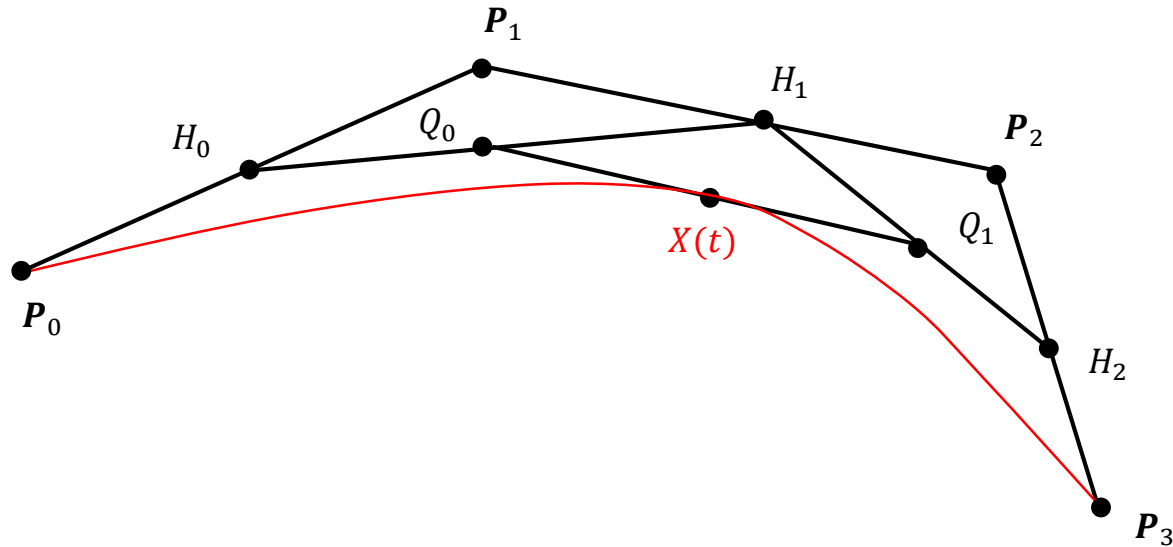
## ■ Geschwindigkeitsüberschleifen

- Beginn, wenn die Geschwindigkeit einen festgelegten Minimalwert unterschreitet
- **Nachteil:** Abhängig vom Geschwindigkeitsprofil

## ■ Positionsüberschleifen

- Beginn, wenn der Endeffektor in die Überschleifkugel eintritt
- Außerhalb der Überschleifkugel wird die Bahn exakt eingehalten
- **Vorteil:** Gut kontrollierbar

# Approximation mit Bernsteinpolynomen



# Bézierkurven (1)

- Im Unterschied zu kubischen Splines verlaufen **Bézierkurven nicht durch alle Stützpunkte  $P_i$** , sondern werden nur von ihnen beeinflusst.

- Basisfunktion:

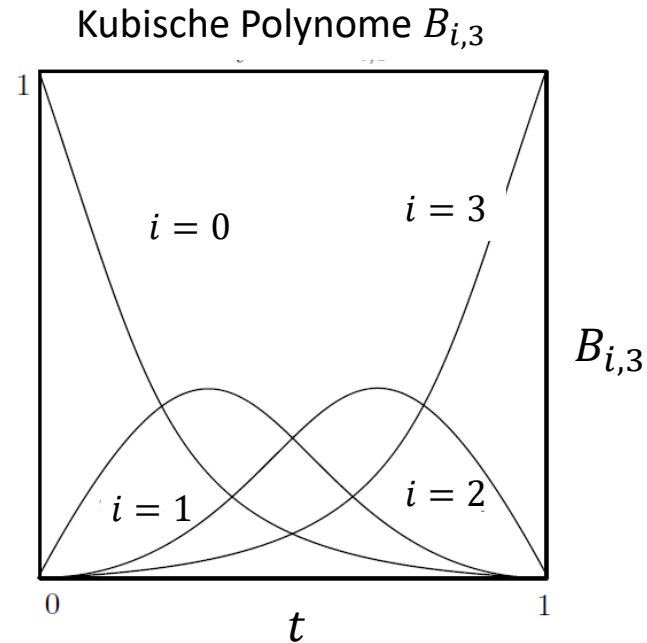
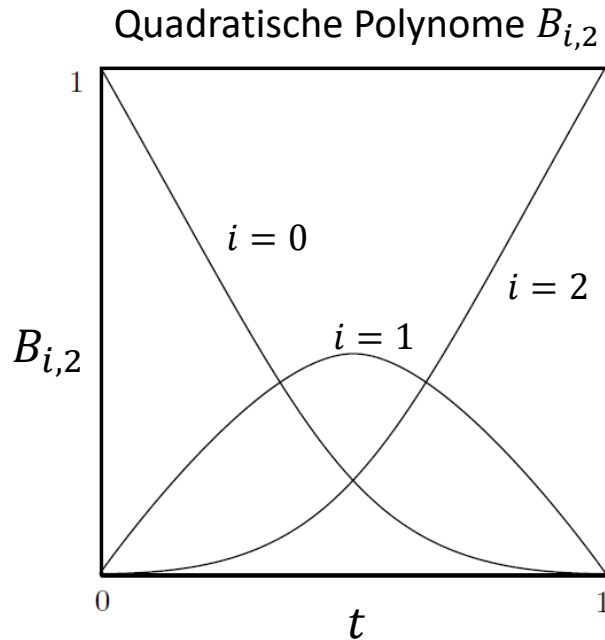
$$P(t) = \sum_{i=0}^n B_{i,n}(t) P_i \quad 0 \leq t \leq 1$$

- $B_{i,n}(t)$ :  $i$ -tes **Bernsteinpolynom** vom Grad  $n$

$$B_{i,n}(t) = \binom{n}{i} t^i (1-t)^{n-i}$$

# Beispiele für Bernsteinpolynome

$$B_{i,n}(t) = \binom{n}{i} t^i (1-t)^{n-i}$$



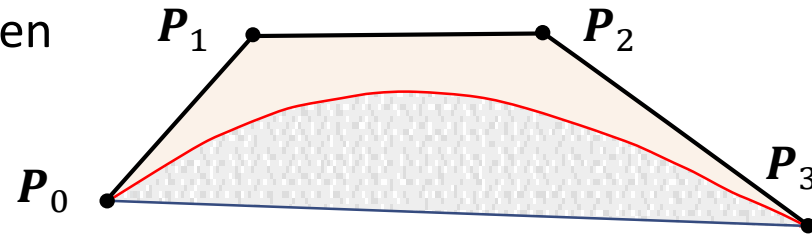
## Bézierkurven (2)

- Berechnung beliebiger Zwischenstellungen
- Beispiel: Bernsteinpolynom für kubischen Fall (Grad  $n = 3$ )

$$B_{i,3}(t) = \binom{3}{i} t^i (1-t)^{3-i}$$

$$P(t) = (1-t)^3 P_0 + 3(1-t)^2 t P_1 + 3(1-t)t^2 P_2 + t^3 P_3$$

- Annähern von unten an Stützstellen
- Keine beliebige Form



# De-Casteljau-Algorithmus (1)

- **Annäherung** an die **Bézierkurve**:
- Effiziente Berechnung einer Näherungsdarstellung von Bézierkurven durch einen Polygonzug
- **Idee**: Algorithmus basiert darauf, dass eine **Bézierkurve geteilt** und durch **zwei aufeinanderfolgende** Bézierkurven **dargestellt** wird
- **Iterative Berechnung**: Kann auch für große  $n$  effizient berechnet werden

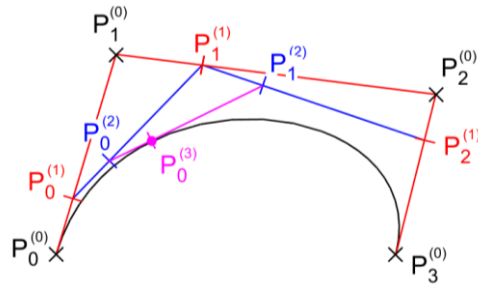
■ Gegeben:  $n$  Kontrollpunkte  $P_0, \dots, P_{n-1}$

■ Start:  $P_i^0 = P_i$

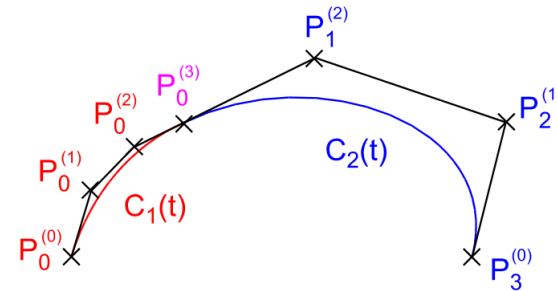
■ Iteration  $k$ :  $P_i^{k+1} = (1 - t_0)P_i^k + t_0P_{i+1}^k$

# De-Casteljau-Algorithmus (2)

- Beispiel für  $P_0$  mit  $k = 3$  und  $t_0 = 0,25$ :



- **Zwei Bézierkurven**  $C_1(t)$  und  $C_2(t)$
- Approximation der Bézierkurve durch Polygonzug



# Ende!

# Direkte Programmierung: Playback (3)

